

(1)–(4) (сплошные кривые), а также распределения температуры при подстановке в (1) теплового источника вида (5). Прежде всего отметим, что для обоих видов теплового источника описанная в [15] промежуточная волна отсутствует. К сожалению, в [15] не дан физический смысл указанной волны. В проведенных ранее численных исследованиях [1, 2, 5, 9, 10, 13] подобные волны также не обнаружены. Кроме того, как видно из рис. 4, качественное развитие процесса различно: для первого вида теплового источника произойдет воспламенение, для второго — остывание очага. Это обстоятельство объясняется отмеченным выше выводом работы [2] о возникновении ошибок при неправильном описании функции тепловыделения, что всегда должно учитываться при разработке новых теорий.

ЛИТЕРАТУРА

1. Мержанов А. Г., Барзыкин В. В., Гонтковская В. Т. // Докл. АН СССР.— 1963.— 148, № 2.— С. 380.
2. Merganov A. G. // Combust. Flame.— 1966.— 10, N 4.— P. 341.
3. Thomas P. H. // Ibid.— 1973.— 21, N 1.— P. 99.
4. Zaturska M. B. // Ibid.— 1975.— 25.— P. 25.
5. Афанасьев А. В., Земских В. И., Лейпунский О. И. О тепловом самовоспламенении системы горячих очагов // ФГВ.— 1983.— 19, № 4.— С. 49.
6. Буркина Р. С., Вилюнов В. Н. О возбуждении химической реакции в «горячей точке» // Там же.— 1980.— 16, № 4.— С. 75.
7. Буркина Р. С., Вилюнов В. Н. // Хим. физика.— 1982.— № 3.— С. 419.
8. Вилюнов В. Н., Буркина Р. С. // Горение конденсированных и гетерогенных систем: Материалы VI Всесоюз. симп. по горению и взрыву.— Черноголовка, 1980.— С. 18.
9. Князева А. Г., Буркина Р. С., Вилюнов В. Н. Особенности очагового теплового воспламенения при различных начальных распределениях температуры // ФГВ.— 1988.— 24, № 3.— С. 45.
10. Земских В. И., Лейпунский О. И. Повторное воспламенение конденсированных реагирующих веществ // Там же.— 1987.— 23, № 2.— С. 3.
11. Vilynov V. N., Zarko V. E. Ignition of solids.— Amsterdam; Oxford; N. Y.; Tokyo: Elsevier, 1989.— 442 p.
12. Князева А. Г., Буркина Р. С. // Макроскопическая кинетика и химическая газодинамика. 1989.— С. 94.
13. Буркина Р. С., Князева А. Г. К задаче об очаговом тепловом воспламенении в веществе, способном к автокатализитическому превращению.— Деп. в ВИНИТИ 23.09.86, № 6809.
14. Сеплярский Б. С., Афанасьев С. Ю. // Хим. физика.— 1989.— 8, № 5.— С. 646.
15. Сеплярский Б. С., Афанасьев С. Ю. Анализ нестационарной картины воспламенения очага разогрева // ФГВ.— 1989.— 25, № 6.— С. 9.
16. Франк-Каменецкий Д. А. Диффузия и теплопередача в химической кинетике.— М: Наука, 1987.
17. Zinn J. // J. Chem. Phys.— 1962.— 36, N 7.— P. 1949.
18. Boddington T. // 9th. Symp. on Comb. Acad. Press.— N. Y.: Lond., 1963.— P. 287.
19. Friedman M. M. // Trans. Faraday Soc.— 1963.— 59, N 6.— P. 1865.
20. Thomas P. H. // Combust. Flame.— 1965.— 9, N 4.— P. 369.

г. Томск

Поступила в редакцию 27/VII 1990,
после доработки — 6/III 1991

УДК 536.413 : 662.611

Л. Я. Каширов, Ю. Е. Шелудяк, В. М. Мальцев,
В. Н. Маршаков, В. В. Ухов, А. Г. Распопин

ВЛИЯНИЕ ТЕМПЕРАТУРНОЙ ЗАВИСИМОСТИ ПЛОТНОСТИ НА ОЦЕНКИ ТЕПЛОВЫХ ПАРАМЕТРОВ ВОЛНЫ ГОРЕНИЯ НИТРОГЛИЦЕРИНОВЫХ ПОРОХОВ

Проведены экспериментальные исследования линейного коэффициента теплового расширения нитроглицериновых порохов II, НБ, НМФ-2 в области температур 103–373 К и получены уравнения для температурной зависимости объемного КТР и плотности исследованных порохов. Сильная зависимость плотности нитроглице-

риновых порохов от температуры приводит к увеличению оценок значений тепловых параметров волны горения — критической энталпии и теплового потока на условной границе зоны химических реакций и прогретого слоя — по сравнению с оценками, полученными в предположении постоянства плотности.

При исследовании влияния начального теплового состояния на скорость горения u нитроглицериновых порохов и других горючих систем [1] установлено, что массовая скорость горения $u\rho$ определяется уравнением

$$u\rho = \frac{q}{h^* - h(T_h)}, \quad (1)$$

в котором тепловые параметры волны горения — критическая энталпия h^* (максимальное количество тепла, которое можно ввести в порох при условиях нагрева, соответствующих режиму горения) и тепловой поток q на условной границе зоны химических реакций и прогретого слоя — не зависят от начальной температуры T_h и являются физическими константами, определяющими установившийся режим горения.

Учитывая постоянство q , можно записать уравнение (1) в более удобном для анализа экспериментальных данных виде

$$\frac{(u\rho)_{20}^*}{u\rho} - 1 = \frac{h(T_h)}{h^*}. \quad (2)$$

Зависимость обратной массовой скорости горения $(u\rho)^{-1}$ от энталпии $h(T_h)$ представляет собой прямую линию, отсекающую на оси абсцисс при $(u\rho)^{-1} = 0$ значение критической энталпии h^* , а на оси ординат при $h(T_h) = 0$ прямая отсекает экстраполированное значение обратной массовой скорости горения $[(u\rho)_{20}^*]^{-1}$. За начало отсчета энталпии пороха приняли начальную температуру $T_h = 293,15 \text{ K} = 20^\circ\text{C}$. Тепловой поток, в соответствии с уравнениями (1) и (2), определяется соотношением

$$q = (u\rho)_{20}^* h^*. \quad (3)$$

В работе [1] при анализе экспериментальных зависимостей $(u\rho)^{-1} = f[h(T_h)]$ не учитывали изменение плотности при изменении начальной температуры из-за отсутствия необходимых для расчета $\rho(T)$ данных о коэффициенте теплового расширения (КТР) пороха Н. В данной работе представлены результаты экспериментальных исследований КТР нитроглицериновых порохов Н, НБ, НМФ-2 и получены уточненные оценки значений тепловых параметров волны горения h^* и q с учетом температурной зависимости пороха Н. Кроме того, в работе рассмотрено также влияние учета зависимостей плотности и энталпии пороха от давления на оценки значений h^* и q .

Исследования температурной зависимости КТР порохов проведены на изготовленном НПО «Дальстандарт» кварцевом дилатометре, выполненным по двухштоковой оптико-механической схеме. Схема дилатометрического устройства показана на рис. 1. Испытуемый образец 9 размещается на плоском дне медного блока 10. На поверхности блока намотан нагреватель, а в стенке блока установлен термометр сопротивления 8. Медный блок подвешен к плате дилатометра 4 на тонкостенной трубке 6 из нержавеющей стали. Один кварцевый шток 7 упирается в испытуемый образец, а другой — в дно блока рядом с образцом. На свободные концы штоков надеты магнитные ярма 2, между которыми зажат калибровочный ролик 3 с консольно укрепленным на нем зеркальцем. Вызванное изменением температуры изменение длины образца Δl через си-

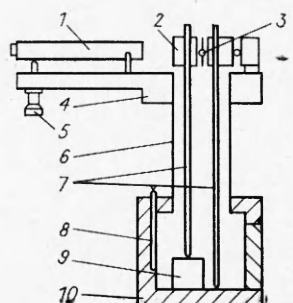


Рис. 1. Схема дилатометрического устройства.

Таблица 1

Относительное изменение (в %) размеров и массы m кубического образца пороха Н после каждого последовательного цикла измерений КТР

T_{\max} , К	δl_1	δl_3	δl_s	δV	δm	$\delta \rho$
354	-0,596	-0,245	0,299	-0,543	-1,048	-0,508
350	-0,845	-0,294	0,299	-0,842	-1,266	-0,427
360	-0,696	-0,196	0,000	-0,892	-1,665	-0,779

систему штоков преобразуется в пропорциональное Δl изменение угла поворота ролика с зеркальцем, регистрируемое отсчетным устройством 5 автоколлиматора 1. Линейный КТР определяется из уравнения

$$\alpha = \frac{A(N_2 - N_1)}{l(T_2 - T_1)} + \alpha_{\text{кв}}, \quad (4)$$

где $A = 5,6 \cdot 10^{-6}$ мм — постоянная дилатометрического устройства; N_2 и N_1 — показания дилатометрического устройства при температурах T_2 и T_1 ; l — длина образца при T_1 ; $\alpha_{\text{кв}}$ — линейный КТР плавленного кварца. Результаты измерений КТР относили к средней температуре опыта $T_{\text{ср}} = (T_1 + T_2)/2$.

Измерения КТР порохов проведены в области температур 103—373 К с шагом от 3 до 50 К при нагреве и при охлаждении образцов. Для исследований КТР изготовили образцы из цилиндрических шашек порохов, а КТР измеряли в направлении диаметра α_{\perp} и образующей α_{\parallel} исходной шашки. Диаметр исходных шашек пороха для порохов НБ, Н и НМФ-2 составлял 4,56; 4,85 и 9,7 мм соответственно. Кроме того, проведены измерения КТР на кубическом образце пороха Н с длиной ребра 10 мм, изготовленном из шапки большого диаметра. Для уменьшения воздействия кварцевого штока на образец (суммарная масса штока с магнитом 23 г) под шток подкладывали пластинку из кварцевого стекла толщиной 5 мм. После первой серии определения КТР порохов с целью проверки установки измерены КТР образца из меди высокой чистоты. Максимальные отклонения полученных значений КТР меди от справочных данных [2] не превышали 10 %.

При высоких температурах наблюдалась усадка образцов, вызванная, с одной стороны, размягчением пороха, а с другой — убылью массы пороха. Это приводило к сильному занижению результатов, полученных при нагреве. Поэтому при высоких температурах значения КТР порохов получены в основном при охлаждении образцов после стабилизации показаний дилатометрического устройства при максимальной температуре опыта, которая достигалась после выдержки образца при этой температуре в течение нескольких часов. В табл. 1 указаны изменения размеров и массы кубического образца пороха Н после каждого последовательного цикла измерений, отнесенные к первоначальным характеристикам образца. Подчеркнутые значения δl отмечают направление, в котором действовала нагрузка. Термостатирование пороха Н при высокой температуре приводит к уменьшению его плотности и разрыхлению в результате убыли массы, а повторное термостатирование при более низкой температуре сопровождается небольшим увеличением плотности, что связано с уплотнением образца под действием нагрузки измерительного устройства.

Линейный КТР исследованных образцов нитроглицериновых порохов обладает сильной анизотропией — α_{\perp} в направлении диаметра шашки намного больше, чем α_{\parallel} в направлении образующей, а при высоких температурах растягивающие усилия в направлении диаметра шашки пороха Н становятся настолько велики, что приводят к сжатию шашки в

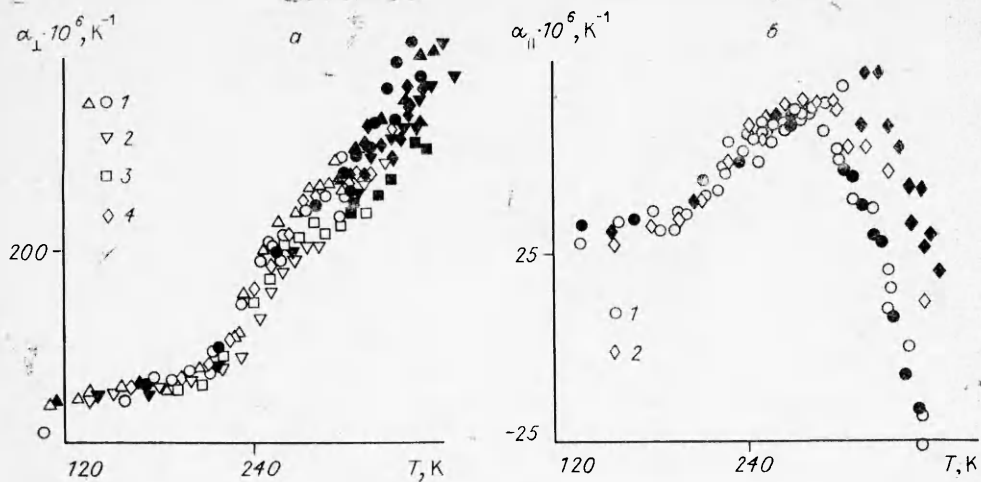


Рис. 2. Зависимость $\alpha(T)$ нитроглицериновых порохов в направлении диаметра (а) и образующей (б) шашки (светлые точки — нагрев, темные — охлаждение).
а — 1 — порох Н, кубический образец, 2 — порох Н, $d = 4,85$ мм, 3 — порох НБ, $d = 4,56$ мм,
4 — порох НМФ-2, $d = 9,7$ мм; б — 1 — порох Н, 2 — порох НМФ-2.

направлении образующей (α_{\parallel} становится отрицательным — образец сжимается при нагреве и расширяется при охлаждении) (рис. 2).

В зависимости $\alpha_{\perp}(T)$ исследованных порохов можно выделить области слабого изменения α_{\perp} $T < 210$ К, резкого, почти скачкообразного увеличения и сильного возрастания $T > 250$ К. В первой области значения α_{\perp} , полученные на различных образцах, практически совпадают, во второй величины α_{\perp} пороха Н, полученные на образце из шашки диаметром $d = 4,85$ мм, смещены на $10-15^{\circ}$ в сторону высоких температур относительно данных для кубического образца. В третьей области максимальные значения КТР получены на кубическом образце пороха Н, причем результаты измерений α_{\perp} для двух взаимно перпендикулярных направлений совпадают. Несколько ниже данные для пороха НМФ-2 ($d = 9,7$ мм), а минимальные значения α_{\perp} дают образцы, изготовленные из шашек из порохов Н с $d = 4,85$ мм и НБ с $d = 4,56$ мм.

Зависимость $\alpha_{\parallel}(T)$ получена на кубическом образце пороха Н и цилиндрическом из пороха НМФ-2 (рис. 2, б). Она проходит через максимум при $T \approx 300$ К.

Температурная зависимость плотности порохов определяется объемным КТР

$$\alpha_v = \alpha_{\parallel} + 2\alpha_{\perp} = -\frac{1}{\rho} \frac{d\rho}{dT}. \quad (5)$$

Вычисленные по соотношению (5) значения α_v порохов Н и НМФ-2 в пределах разброса экспериментальных данных совпадают и могут быть аппроксимированы следующими уравнениями: в области температур $103 < T < 222$ К

$$\alpha_v \cdot 10^6 = -22,02 + 0,9765T, \quad (6)$$

при $222 < T < 245$ К

$$\alpha_v \cdot 10^6 = -1946,8 + 9,6522T, \quad (7)$$

$245 < T < 373$ К

$$\alpha_v \cdot 10^6 = -1310,2 + 9,755T - 0,11 \cdot 10^{-1}T^2. \quad (8)$$

Проинтегрировав уравнения (6) — (8), получим следующие выражения для отношения плотностей при текущей температуре ρ_t и при $T = 293,15$ К = 20 °C ρ_{20} : в области температур $103 < T < 222$ К

$$\ln \rho_t / \rho_{20} = 0,510641 \cdot 10^{-1} + 0,220181 \cdot 10^{-4}T - 0,488247 \cdot 10^{-6}T^2, \quad (9)$$

при $222 < T < 245$ К

$$\ln \rho_T / \rho_{20} = -0,162447 + 0,194678 \cdot 10^{-2}T - 0,482609 \cdot 10^{-5}T^2, \quad (10)$$

$245 < T < 373$ К

$$\begin{aligned} \ln \rho_T / \rho_{20} = & -0,573541 \cdot 10^{-1} + 0,131022 \cdot 10^{-2}T - 0,48775 \cdot 10^{-5}T^2 + \\ & + 0,36687 \cdot 10^{-8}T^3. \end{aligned} \quad (11)$$

При $T = 222$ К вычисленное по (11) значение ρ_T / ρ_{20} выше определенного по (10) всего на 0,14 %, поэтому для практических расчетов плотности нитроглицериновых порохов уравнение (11) можно использовать вплоть до $T = 222$ К.

Экспериментальные исследования [3, 4] скорости горения пороха Н проведены в области начальных температур от 77 до 413 К. В соответствии с нашими данными плотность пороха при этом изменяется на 13,7 % (от $\rho_T / \rho_{20} = 1,0511$ до $\rho_T / \rho_{20} = 0,914$), что во много раз меньше изменения скорости горения в этой области температур. Однако такое изменение плотности весьма ощутимо оказывается на оценках значений тепловых параметров волны горения h^* и q .

В табл. 2 сопоставлены оценки значений параметров h^* и q , полученных на основании данных [3, 4] в предположении постоянства плотности пороха, с новыми оценками, учитывающими температурную зависимость плотности пороха Н. При учете последней погрешность аппроксимации исходных экспериментальных данных [3, 4] о скорости горения пороха Н уравнением (2) практически не изменяется, а значения h^* и q заметно увеличиваются: на 3—11 % при $p = 0,1$ МПа и на 5—13 % при $p = 2,0$ МПа. При дальнейшем росте давления различие значений тепловых параметров волны горения, полученных при $\rho = \text{const}$ и $\rho = f(T_n)$, достигает 20 %, а зависимость $h^*(p)$ стремится к $h^* \sim \sim 420$ кДж/кг вместо $h^* \sim 350$ кДж/кг при $\rho = \text{const}$.

При высоких давлениях дополнительными источниками ошибок оценок тепловых параметров волны горения могут стать зависимости энталпии и плотности пороха от давления. В соответствии с известным уравнением термодинамики энталпия связана с термическими свойствами соотношением [5]

$$\left(\frac{\partial h}{\partial p} \right)_T = v - T \left(\frac{\partial v}{\partial T} \right)_p = \frac{1}{\rho} (1 - T \alpha_v), \quad (12)$$

где $v = 1/\rho$ — удельный объем. Полагая ρ и α_v пороха не зависящими от давления, получим уравнение для оценки изменения энталпии при изменении давления от p_0 до p

$$h(p) - h(p_0) = (p - p_0) \frac{1 - T \alpha_v(T)}{\rho(T)}. \quad (13)$$

В работе [6] приведена графическая зависимость скорости горения от давления $u(p)$ при $T_n = 273,15$ и $323,15$ К для пороха, содержащего 54 % нитроцеллюлозы, 43 % нитроглицерина и 3 % диэтилдифенилуреата. При $p_{\max} = 23,8$ МПа $u_{323}/u_{273} = 1,196$. Согласно (2), критическую энталпию можно определить из отношения скоростей горения при двух

Таблица 2
Сопоставление оценок значений тепловых параметров h^* и q волны горения пороха Н при $\rho = \text{const}$ и $\rho = f(T)$ (цифры в скобках)

p , МПа	T_n , К	h^* , кДж/кг	q , МВт/м ²	$\delta u_{\text{кр}}$, %
0,1	77—273	57(62,2)	0,076(0,084)	1,3(1,4)
	323—373	191,5(198,2)	0,250(0,257)	—
2,0	123—323	215(242,7)	1,00(1,134)	1,7(1,2)
	323—413	301(320,5)	1,49(1,568)	1,0(0,7)

начальных температурах T_1 и T_2

$$h^* = \left[\frac{u_{T_2} \rho_{T_2}}{u_{T_1} \rho_{T_1}} h(T_2) - h(T_1) \right] : \left(\frac{u_{T_2} \rho_{T_2}}{u_{T_1} \rho_{T_1}} - 1 \right). \quad (14)$$

Ниже приведены значения h^* , вычисленные по уравнению (14) на основании данных [6] для $p = 23,8$ МПа при различных способах учета зависимости плотности и энталпии от температуры и давления.

$h^*, \text{ кДж/кг}$	$\rho = \text{const}, h = f(T)$	$\rho = f(T), h = f(T, \rho)$	$\rho = f(T, p)$	$\rho = f(T, p)$
348	419	426	426	414

При расчете плотности коэффициент изотермической сжимаемости пороха $\gamma = \frac{1}{\rho} \left(\frac{\partial \rho}{\partial p} \right)_T$ принят $0,3 \cdot 10^{-3}$ МПа⁻¹ при $T = 273,15$ К и $0,5 \cdot 10^{-3}$ МПа⁻¹ при $T = 323,16$ К по аналогии с данными [7] для поливинилацетата. Учет зависимостей плотности и энталпии пороха от давления приводит к изменению h^* в пределах 2 %, тогда как изменение величины u_{323}/u_{273} всего лишь на 1 % приведет к изменению h^* на 5 %. Кроме того, учет зависимостей $h(p)$ и $\rho(p)$ приводит к противоположным результатам и их влияние на оценки h^* частично компенсируется. Поэтому пренебрежение зависимостями $h(p)$ и $\rho(p)$ даже при высоких давлениях не приведет к существенным искажениям оценок значений тепловых параметров волны горения нитроглицериновых порохов.

Таким образом, плотность нитроглицериновых порохов сильно зависит от температуры, и это необходимо учитывать при оценке значений тепловых параметров волны горения h^* и q , а влияние зависимостей $h(p)$ и $\rho(p)$ на h^* и q нитроглицериновых порохов малосущественно.

ЛИТЕРАТУРА

- Кашпоров Л. Я., Шелудяк Ю. Е., Мальцев В. М. и др. Влияние начального теплового состояния на скорость горения конденсированных систем // Химическая физика процессов горения и взрыва. Горение конденсированных систем: Материалы IX Всесоюз. симп. по горению и взрыву.— Черноголовка, 1989.— С. 18—21.
- Новикова С. И. Тепловое расширение твердых тел.— М.: Наука, 1974.— 292 с.
- Зенин А. А., Нифедова О. И. О горении баллиститного пороха в широком диапазоне начальных температур // ФГВ.— 1967.— 3, № 1.— С. 45—53.
- Зенин А. А. Процессы в зонах горения баллиститных порохов // Физические процессы при горении и взрыва.— М.: Атомиздат, 1980.— С. 68—105.
- Сычев В. В. Дифференциальные уравнения термодинамики.— М.: Наука, 1981.— 195 с.
- Crawford B. L., Huggett C., Daniels F. et al. Direct determination of burning rates of propellant powders // Industrial and Engng Chem. Analitical Chem.— 1947.— 19, N 9.— P. 630—633.
- Привалко В. П. Справочник по физической химии полимеров. Свойства полимеров в блочном состоянии.— Киев: Наук. думка, 1984.— 330 с.

г. Москва

Поступила в редакцию 24/VII 1990

УДК 536.46

B. K. Смоляков

ИЗМЕНЕНИЕ ПОРИСТОСТИ ПРИ ГОРЕНИИ ГЕТЕРОГЕННЫХ СИСТЕМ С ЧАСТИЧНО ГАЗООБРАЗНЫМ ПРОДУКТОМ

На основе представлений механики гетерогенных сред построены модели само-распространяющегося высокотемпературного синтеза, учитывающие макроструктурные превращения, связанные с различием плотностей исходных веществ и продуктов, с жидкокомплексным спеканием и разрыхляющим действием фильтрующегося в порах газа. Приближенными методами получены формулы для скорости горения и ко-